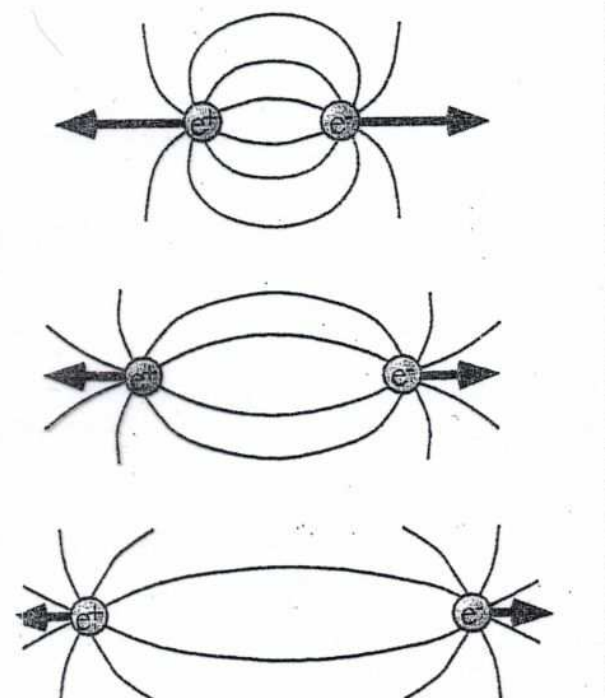
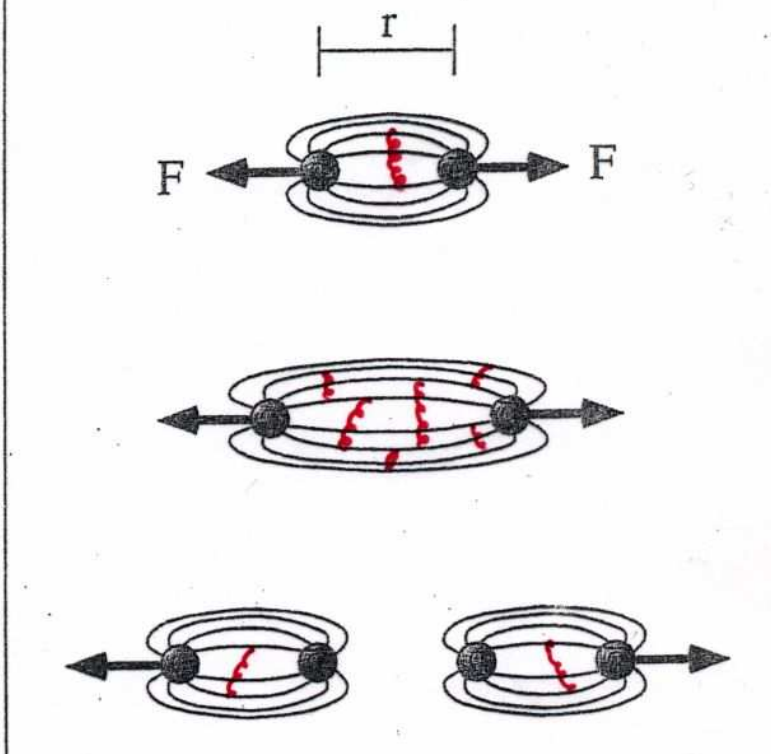


# Elektrisches Feld und Farb-Feld

QED	QCD
<p><i>Elektrische Ladungen:</i>            Kraft <math>F \propto 1/r^2</math>            Energiedichte <math>\propto 1/r</math></p>	<p><i>Farbladungen:</i>            Kraft <math>F \propto \text{const.}</math>            Energiedichte <math>\propto r</math></p>
 <p>Energiedichte zwischen Ladungsträgern nimmt ab.</p>	 <p>Energiedichte steigt an, bis ein neues Quark-Antiquark-Paar aus dem Vakuum erzeugt wird.</p>

Zieht man zwei Farbladungen auseinander, so schnürt sich das Farbfeld zu einem dünnen Schlauch, String genannt, zusammen  
 Stringspannung:  $K \approx 16 \text{ eV/fm}$

# Kopplungsstärke dem ...

... beeinflusst durch Polarisation des Vakuums

▷ großer Abstand  $R_1$   $\longleftrightarrow$  stärkere Abschirmung

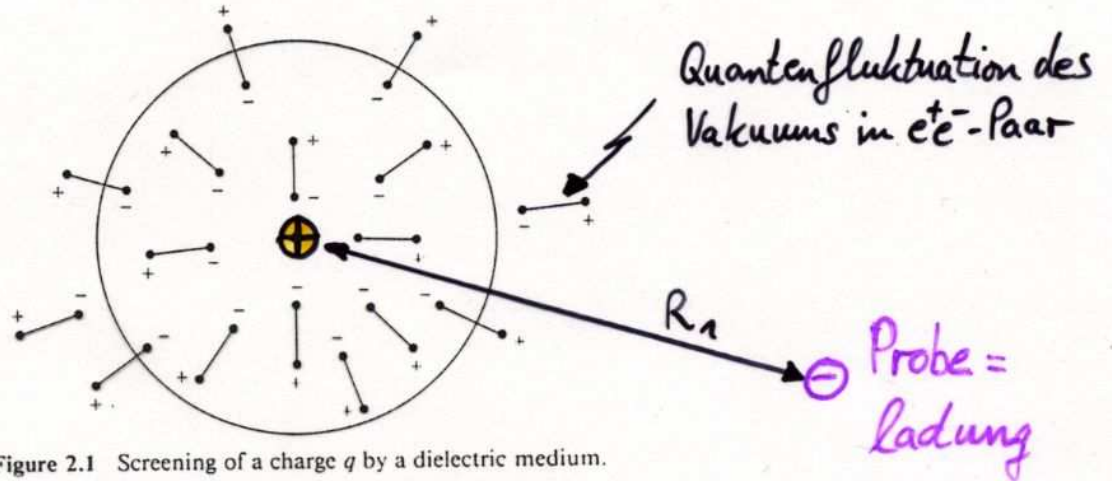
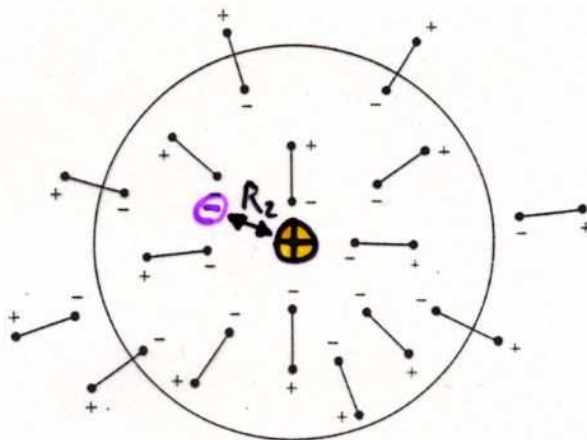


Figure 2.1 Screening of a charge  $q$  by a dielectric medium.

▷ kleinerer Abstand  $R_2$   $\longleftrightarrow$  geringere Abschirmung

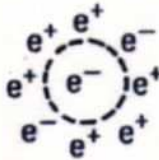
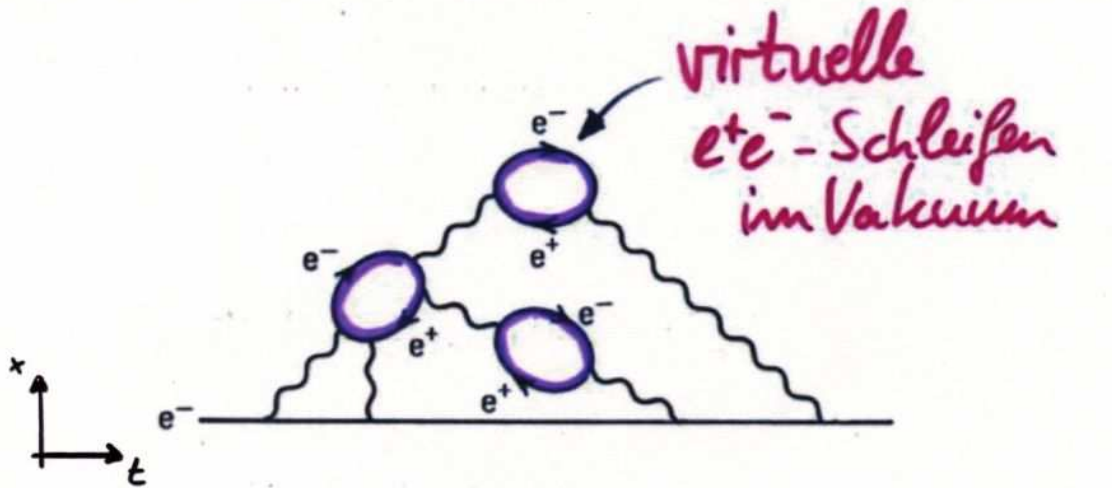


⇒ "sichtbare" Ladung  $\oplus$  wird abstandsabhängig  
⇔ "sichtbare" Ladung  $\oplus$  wird energieabhängig!

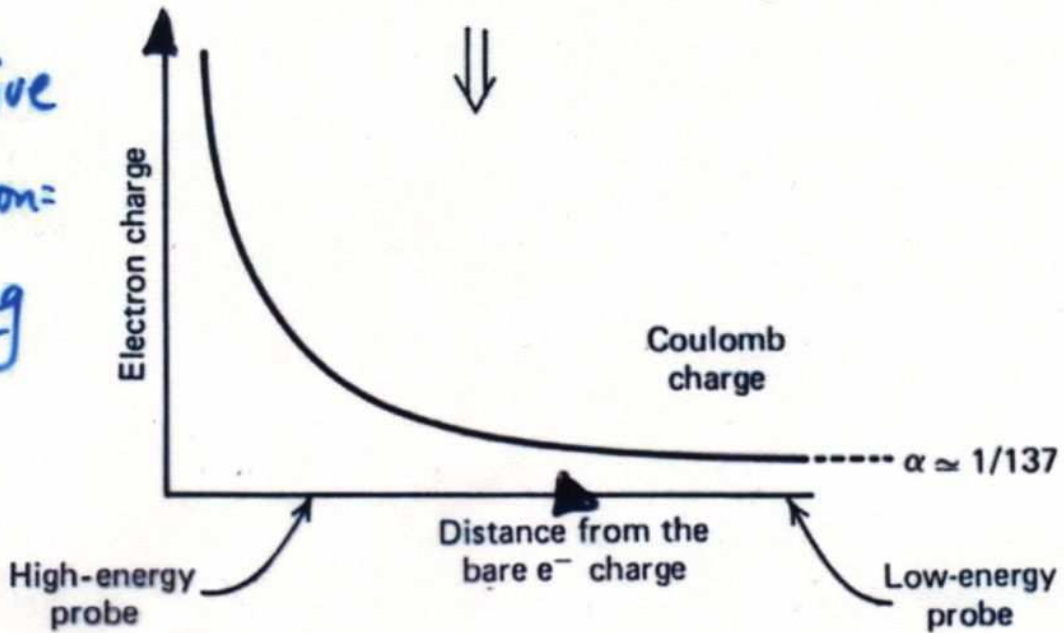
# Vakuum polarisation in QED

10

Quantum electrodynamics (QED)



effektive  
Elektron=  
ladung

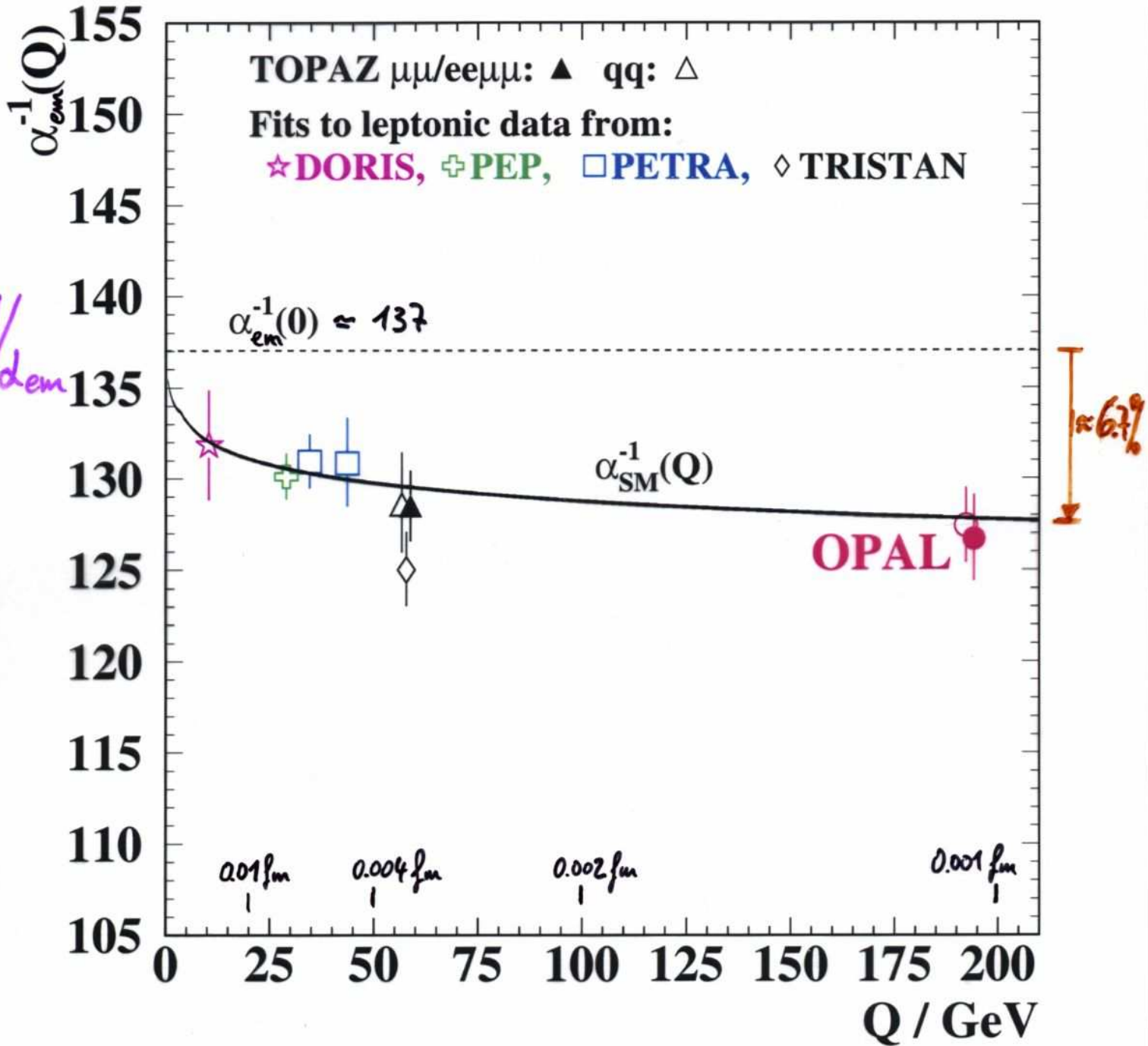


(a)

Fig. 1.5 Screening of the (a) electric

# Elektromagn. Kopplung vs. Abstand

$$\alpha_{em} = \frac{e^2}{4\pi\epsilon_0 \hbar c}$$



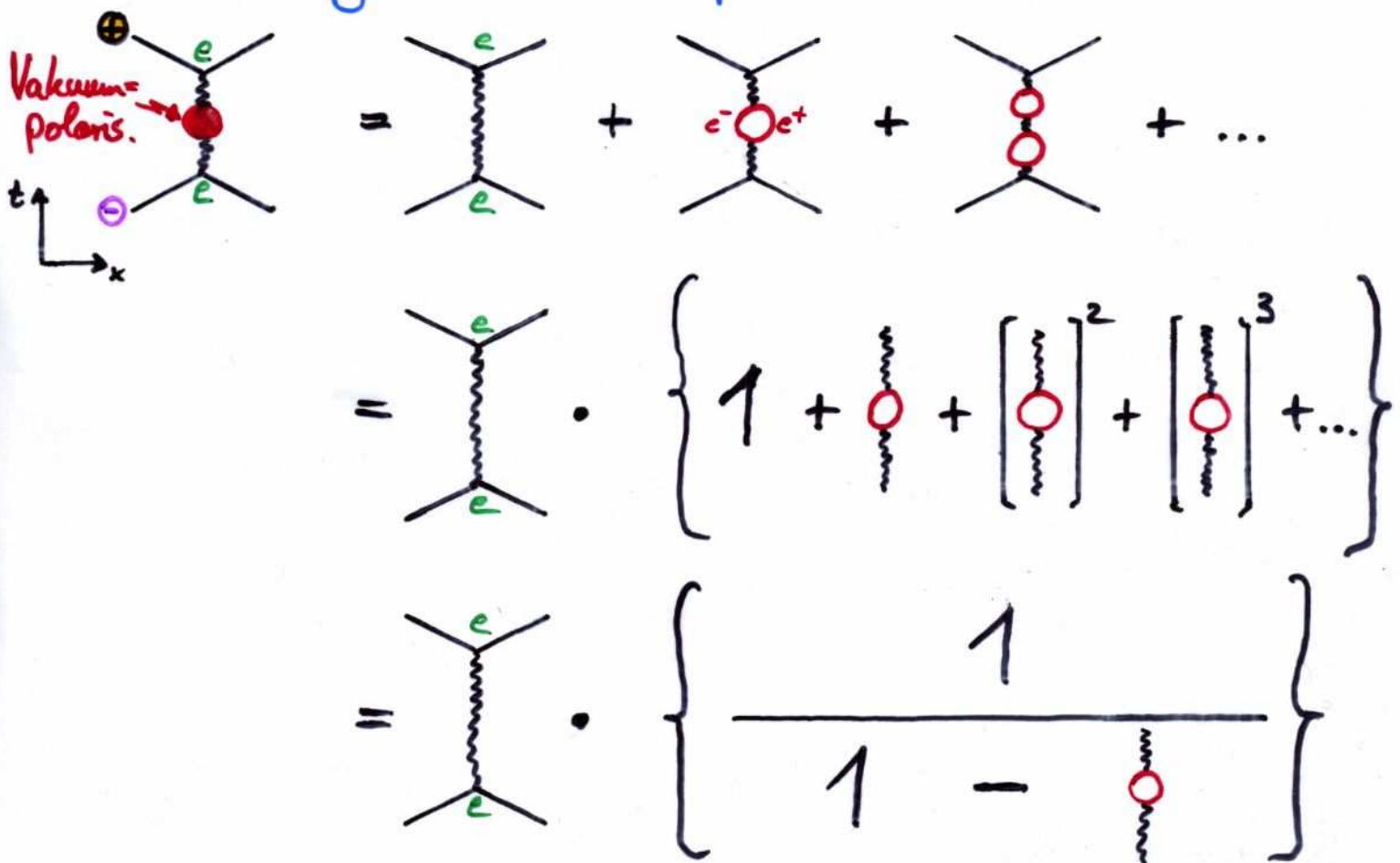
$\Rightarrow$  elektr. Ladung  $e = e(Q^2)$

# Vakuumpolarisation & $\beta$ -Funktion der QED

- Energieabhängigkeit der elektr. Ladung:  $\beta$ -Funktion

$$Q \cdot \frac{\partial e(Q)}{\partial Q} = \beta_{\text{QED}}(e)$$

- Berechnung aus Vakuumpolarisation (Beispiel: Streuprozess)

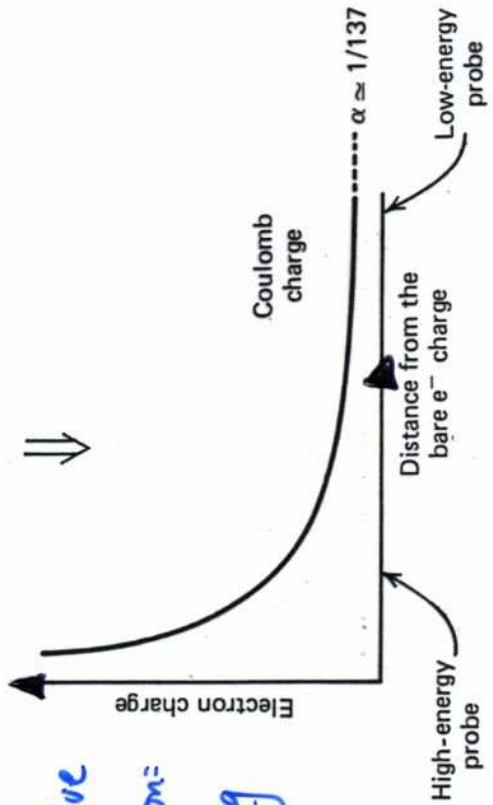
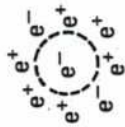
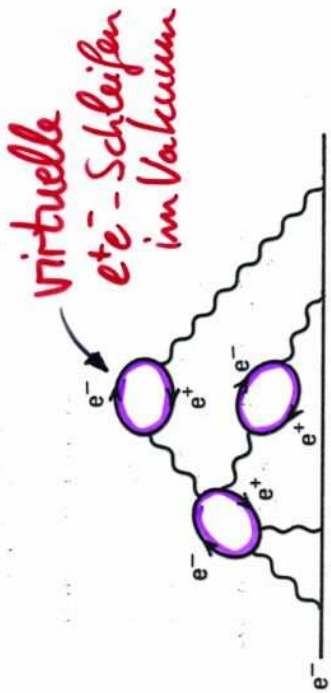


$$\Rightarrow e^2(Q) = e^2(\mu) \cdot \frac{1}{1 - \frac{e^2}{12\pi^2} \ln \frac{Q^2}{\mu^2}}$$

$$\Rightarrow Q \cdot \frac{\partial e}{\partial Q} = \beta_{\text{QED}}(e) = +\frac{e^3}{12\pi^2} + \dots$$

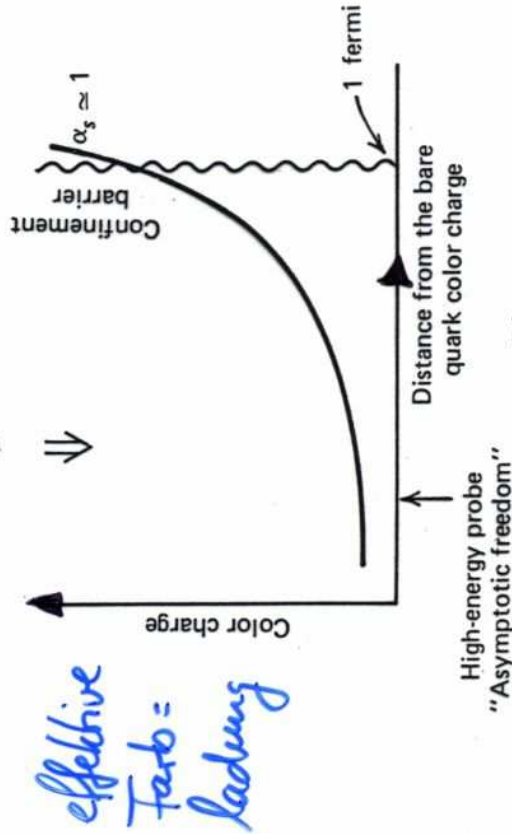
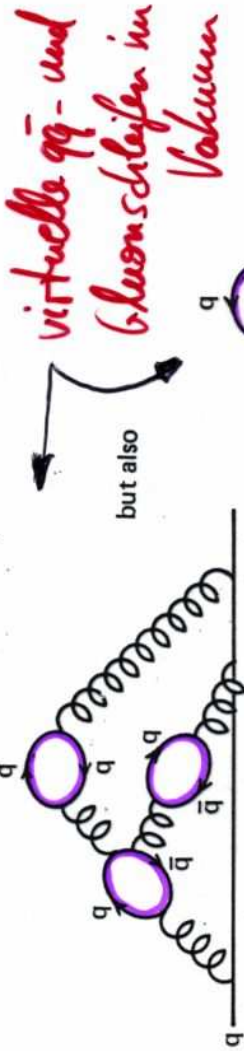
$\rightarrow$  Ladung  $e$  wächst mit Energie  $Q$  !

Quantum electrodynamics (QED)



(a)

Quantum chromodynamics (QCD)



(b)

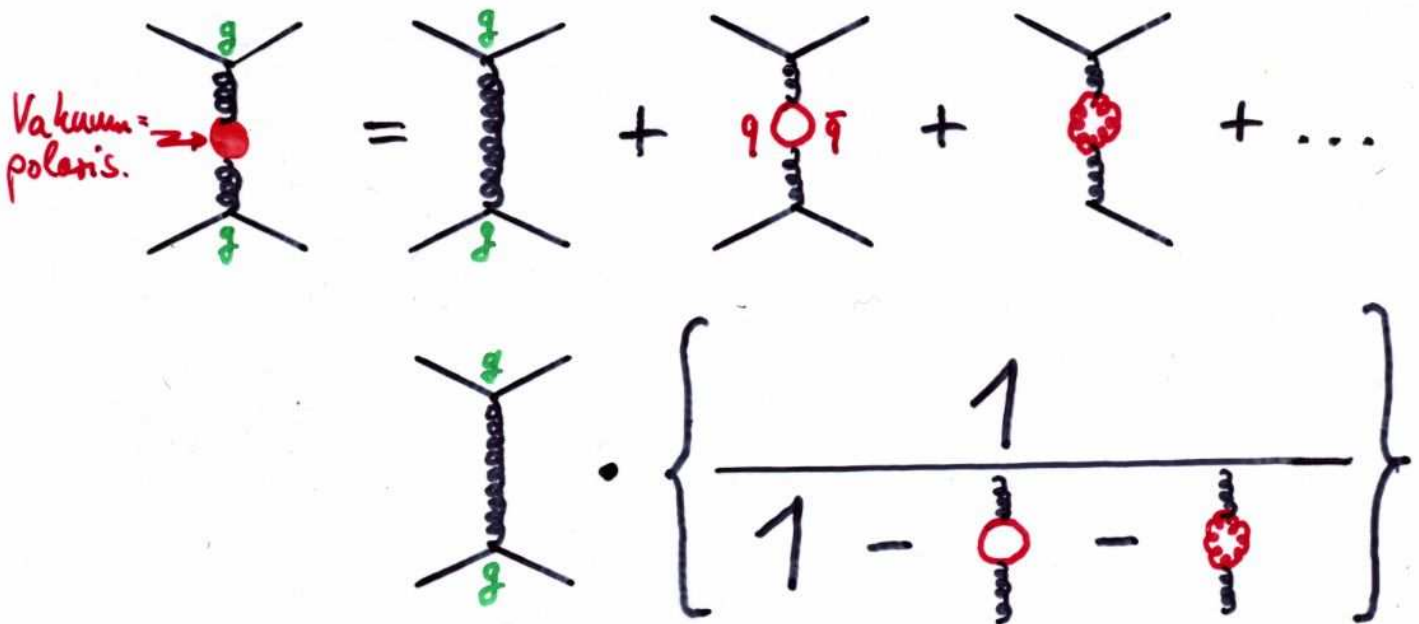
Fig. 1.5 Screening of the (a) electric and (b) color charge in quantum field theory.

# Vakuumpolarisation & $\beta$ -Funktion der QCD

- Energieabhängigkeit der Farbladung:  $\beta$ -Funktion

$$Q \cdot \frac{\partial g(Q)}{\partial Q} = \beta_{\text{QCD}}(g)$$

- Berechnung aus Vakuumpolarisation



$$\Rightarrow g^2(Q) = g^2(\mu) \cdot \frac{1}{1 - \frac{g^2}{16\pi^2} \cdot \frac{4}{3} \cdot \frac{N_F}{2} \cdot \ln \frac{Q^2}{\mu^2} + \frac{g^2}{16\pi^2} \cdot \frac{11}{3} \cdot N_C \cdot \ln \frac{Q^2}{\mu^2}}$$

$$\Rightarrow Q \cdot \frac{\partial g}{\partial Q} = \beta_{\text{QCD}}(g) = -\frac{g^3}{16\pi^2} \cdot \left( \frac{11}{3} N_C - \frac{4}{3} \frac{N_F}{2} \right)$$

$> 0$   $N_F = 6$  Quarks  
 $N_C = 3$  Farbladungen

- $\rightarrow$  Farbladung  $g$  nimmt ab mit Energie  $Q$  !
- $\rightarrow$  Kopplungsstärke  $\alpha_s := \frac{g^2}{4\pi}$  nimmt ab mit  $Q$  !

# Laufende QCD-Kopplung & asymptot. Freiheit

Die Lösung der Renormierungsgruppen-Gleichung

$$Q \cdot \frac{\partial g_s(Q)}{\partial Q} = \beta_{\text{QCD}}(g_s)$$

ergibt die Kopplungskonstante der QCD  $\alpha_s := \frac{g_s^2}{4\pi}$  :

$$\alpha_s(Q^2) = \alpha_s(\mu^2) \cdot \frac{1}{1 + \beta_0 \alpha_s(\mu^2) \cdot \ln \frac{Q^2}{\mu^2}}$$

(in niedrigster, nicht-trivialer Ordnung der Störungsrechnung) mit

$$\beta_0 := \frac{1}{4\pi} \cdot \left( 11 - \frac{2}{3} \cdot n_f \right)$$

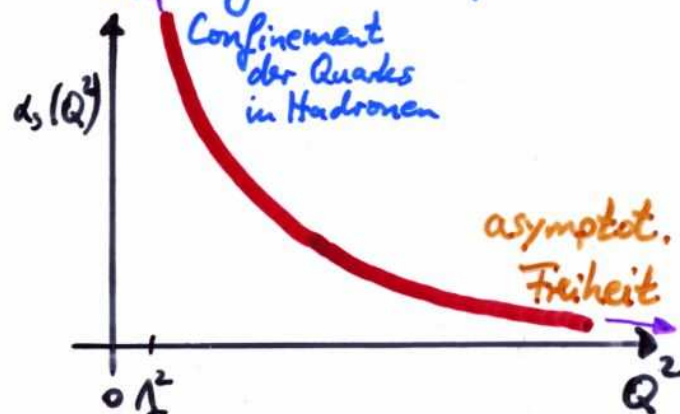
Im Gegensatz zur QED ist die starke Kopplung für  $Q^2 \rightarrow 0$  nicht wohldefiniert. Daher wird die (Renormierungs-)Skala  $\mu$  durch eine Skala  $\Lambda$

$$\Lambda^2 = \mu^2 \cdot \exp \left[ -1/\beta_0 \cdot \alpha_s(\mu^2) \right]$$

ersetzt, bei der der Pol in der Kopplungskonst. auftritt.

( $\Lambda$  ist typ. einige 100 MeV)

$$\alpha_s(Q^2) = \frac{1}{\beta_0 \cdot \ln \frac{Q^2}{\Lambda^2}}$$





# Asymptotische Freiheit

...bedeutet: Quarks verhalten sich bei hohen Energien ( $\hat{=}$  geringen Abständen) wie "freie" Teilchen

...vorhergesagt: Für QCD von D. Gross, D. Politzer, F. Wilczek 1973 berechnet und vorhergesagt (Nobelpreis 2004)  
(nachdem 1972/73 G. 't Hooft, H. Veltman die Renormierbarkeit nicht-abelscher Theorien bewiesen hatten; Nobelpreis 2000)

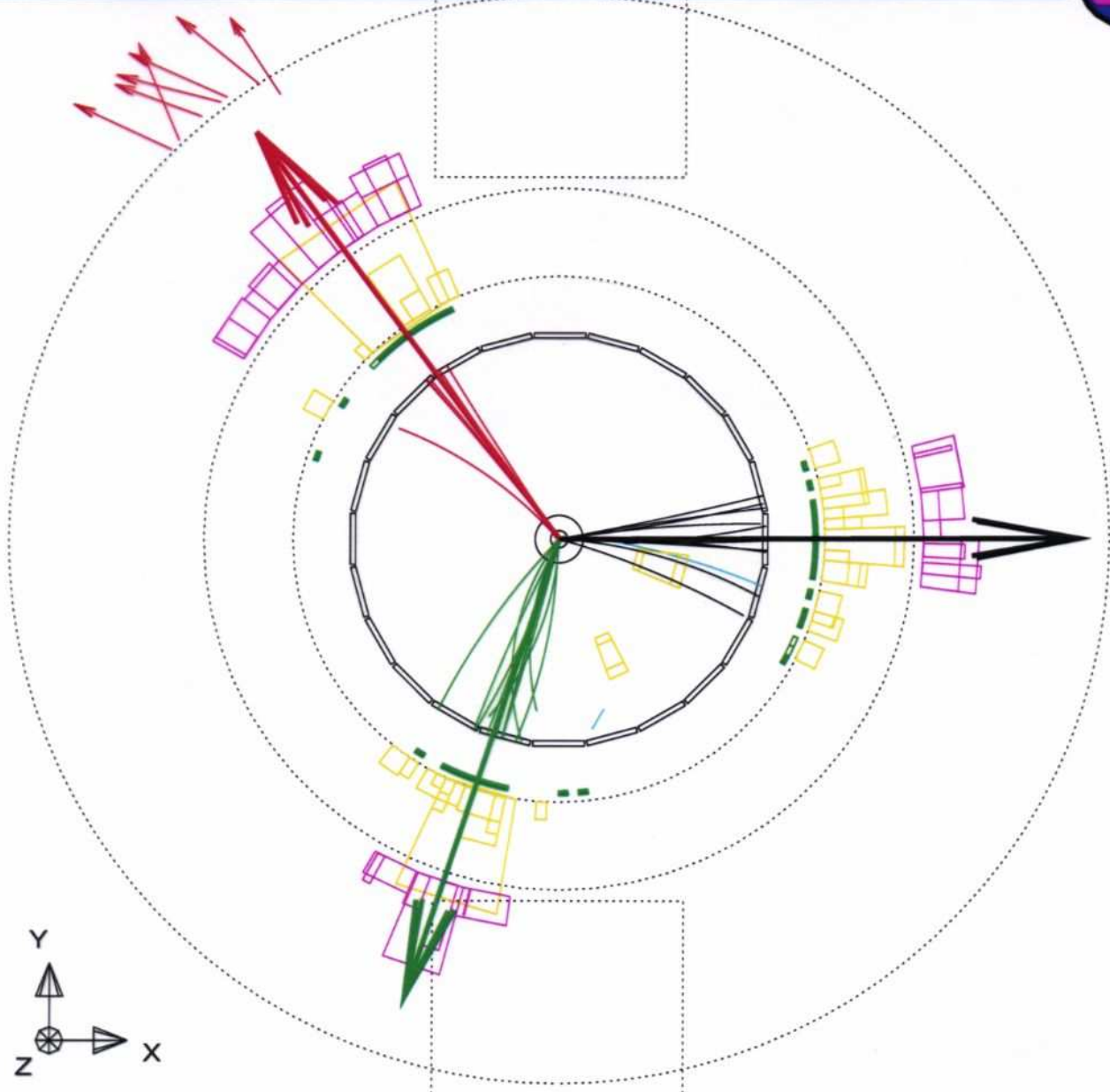
...beobachtet: Erste experimentelle Studien (ca. Mitte der 1980er Jahre) mit Häufigkeit von 3-Jet-Endzuständen in  $e^+e^-$ -Vernichtung:

$$R_3 \equiv \frac{\# \left( \begin{array}{c} e^+ \\ e^- \end{array} \right) \rightarrow \text{3-Jet} \left( \begin{array}{c} q \\ q \\ q \end{array} \right)}{\# \left( \begin{array}{c} \text{2-Jet} \\ \text{2-Jet} \end{array} \right)} \sim \alpha_s$$

Die 3-Jetraten  $R_3$  wird durch einfaches Zählen der Häufigkeiten von 2- und 3-Jet-Endzuständen bestimmt. Die Existenz der asymptot. Freiheit bedeutet dann:

$R_3(Q^2)$  nimmt ab für wachsendes  $Q^2$

Run: event 13998: 3409 Date 000628 Time 095142 Ctrk(N= 39 Sump=119.9) Ecal(N= 54 SunE=104.9) Hcal(N=27 SunE= 43.6)  
 Ebeam 102.70 Evis 190.2 Emiss 15.2 Vtx ( - .03, .04, 2.45) Muon(N= 3) Sec Vtx(N= 4) Fdet(N= 0 SunE= 0)  
 Bz=-4.028 Bunchlet 1/1 Thrust= .7139 Aplan= .0341 Oblat= .3763 Spher= .6405



200. cm.

5 10 20 50 GeV

# Asymptotische Freiheit

## 3-Jetrate $R_3 \dots$

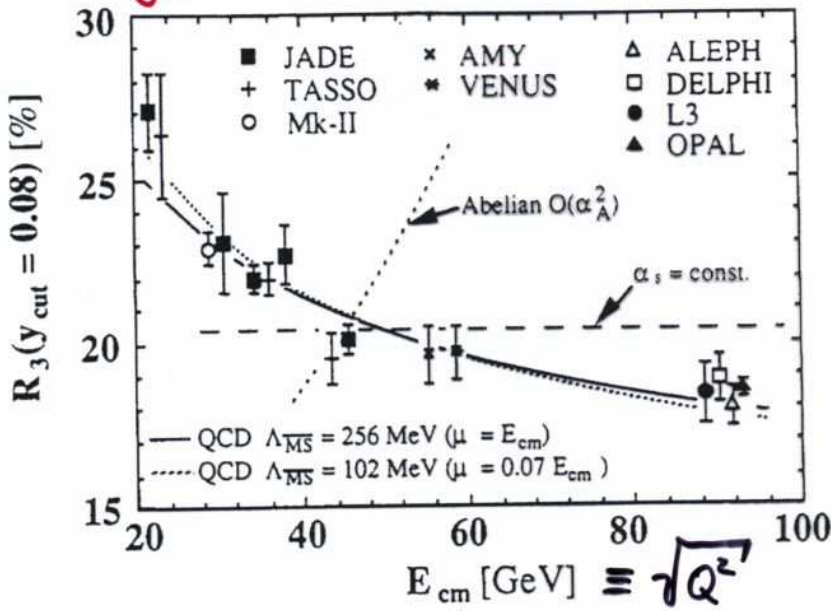


Figure 9. Energy dependence of three-jet event production rates  $R_3$ , using the JADE scheme with  $y_{cut} = 0.08$ . The measurements are compared with predictions of analytic  $O(\alpha_s^2)$  QCD calculations, with the hypothesis of an energy independent  $\alpha_s$ , and with the abelian vector theory in  $O(\alpha_A^2)$ .

... nimmt ab mit wachsendem  $Q^2$

Mit  $\alpha_s(Q^2) = \frac{1}{\beta_0 \ln \frac{Q^2}{\Lambda^2}} \approx \frac{1}{\beta_0 \ln Q^2} \xrightarrow{Q^2 \rightarrow \infty} 0$

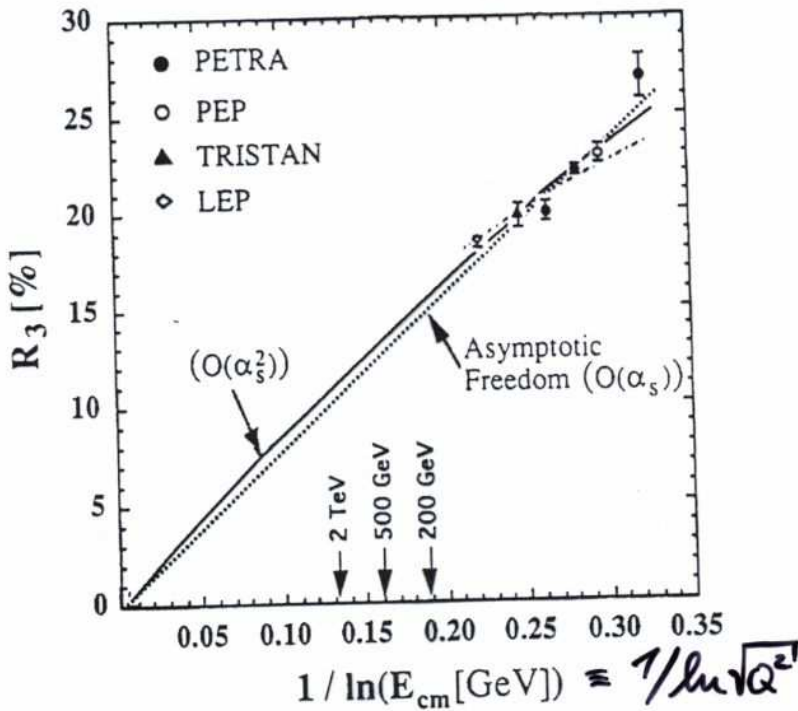



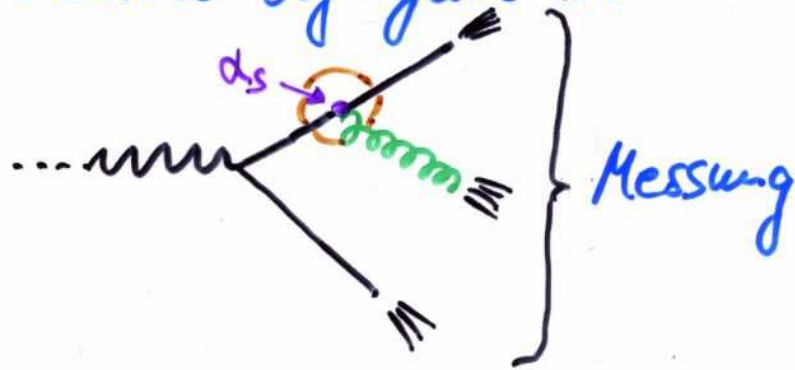
Fig. 10. The same data as shown in Fig. 9, as a function of  $1/\ln(E_{cm})$ , compared to the prediction of asymptotic freedom

zeigt sich die asymptot. Freiheit in  $R_3 \xrightarrow{Q^2 \rightarrow \infty} 0$

# Bestimmung der starken Kopplungskonstante $\alpha_s$

- Um  $\alpha_s(Q^2)$  zu messen, müssen Prozesse betrachtet werden,
  - ▶ an denen Gluonen beteiligt sind 
  - ▶ deren Energieskala  $Q^2$  bekannt ist
  - ▶ die verschiedene  $Q^2$  ermöglichen, um  $\Lambda$  in 
$$\alpha_s(Q^2) = \frac{1}{\text{Polen} \frac{Q^2}{\Lambda^2}}$$
 bestimmen zu können.

- Präzise Resultate wurden in  $e^+e^-$ -Vornichtung bestimmt, obwohl  $\alpha_s$  nur indirekt zugänglich ist

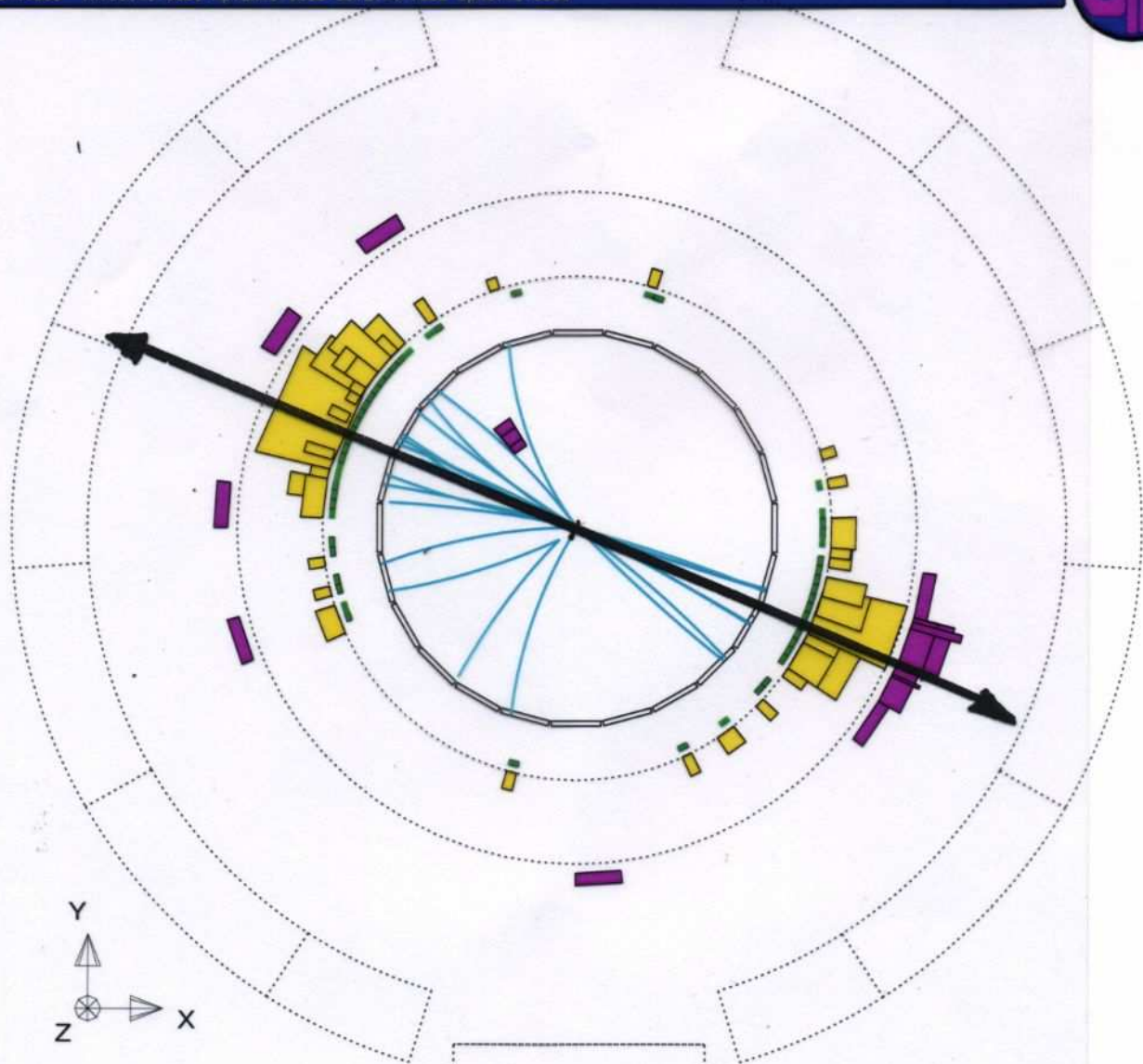


- Meßgrößen nutzen beispielsweise die Topologie/Form des Endzustandes:

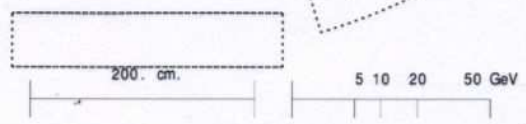


⇒ { so gen. "event shapes"  
auf räumliche Verteilung der Quarks & Gluonen sensitiv

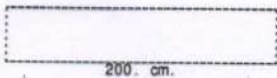
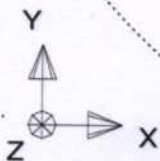
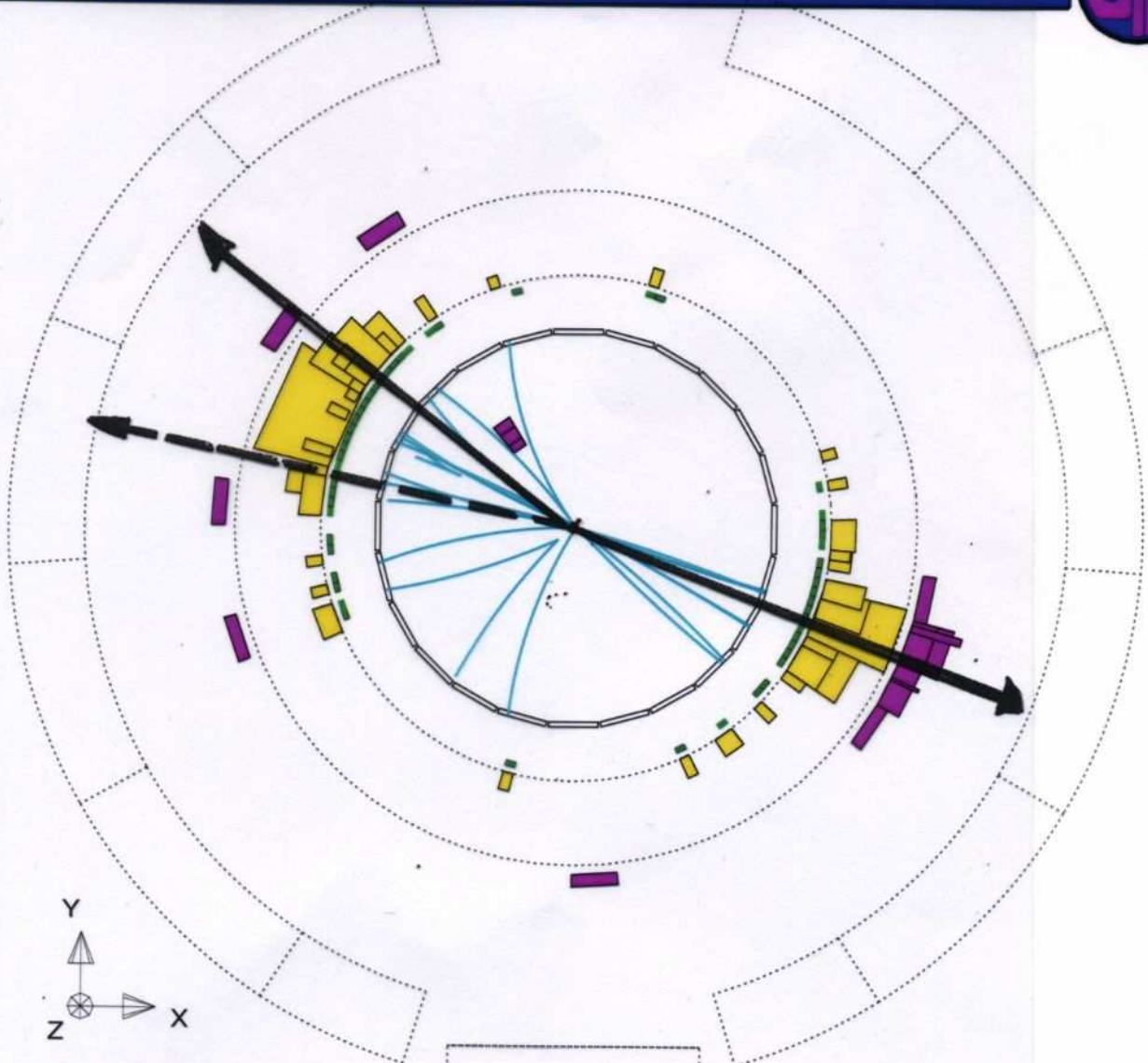
Run: event 2419: 67143 Date 910723 Time 112832 Ctrk(N= 26 Sump= 47.4) Ecal(N= 50 SumE= 73.1) Hcal(N=13 SumE= 7.6)  
 Ebeam 45.623 Evis 89.3 Emiss 2.0 Vtx ( -0.10, 0.16, -0.10) Muon(N= 0) Sec Vtx(N= 3) Fdet(N= 0 SumE= 0.0)  
 Bz=4.350 Thrust=0.9320 Aplan=0.0202 Oblat=0.0532 Spher=0.0554



Centre of screen is ( 0.0000, 0.0000, 0.0000)






Run: event 2419: 67143 Date 910723 Time 112832 Crk(N= 26 Sump= 47.4) Ecal(N= 50 SumE= 73.1) Hcal(N=13 SumE= 7.6)  
 Ebeam 45.623 Evis 89.3 Emiss 2.0 Vtx ( -0.10, 0.16, 0.10) Muon(N= 0) Sec Vtx(N= 3) Fdet(N= 0 SumE= 0.0)  
 Bz=4.350 Thrust=0.9320 Aplan=0.0202 Oblat=0.0532 Spher=0.0554



5 10 20 50 GeV

Centre of screen is ( 0.0000, 0.0000, 0.0000)

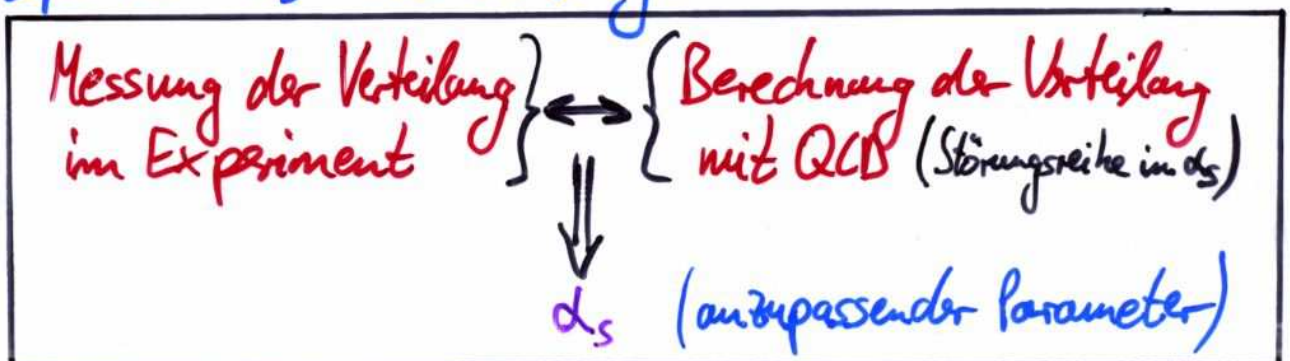
# "Event shape" - Observablen zur $d_s$ -Bestimmung

Beispiele: $\mathcal{F}$				
Thrust	max. Longitudinal= impuls	1	$\geq \frac{2}{3}$	$\geq \frac{1}{2}$
C-Parameter	$\overline{\sin^2 \theta_{ij}}$ $\theta_{ij}$ : Winkel zw. Teilchen	0	$\leq \frac{3}{4}$	$\leq 1$
Jetraten	$\frac{\#(\text{jet})}{\#(\text{jet}) + \#(\text{jet}) + \dots}$ proportional $\alpha_s^{n-2}$	2-jetartig	3-jetartig	n-jetartig

⋮

→ jedes registrierte Ereignis → eine Zahl (z.B. Thrust=0.932)  
 ↳ mit vielen Ereignissen → Verteilung der Messgröße

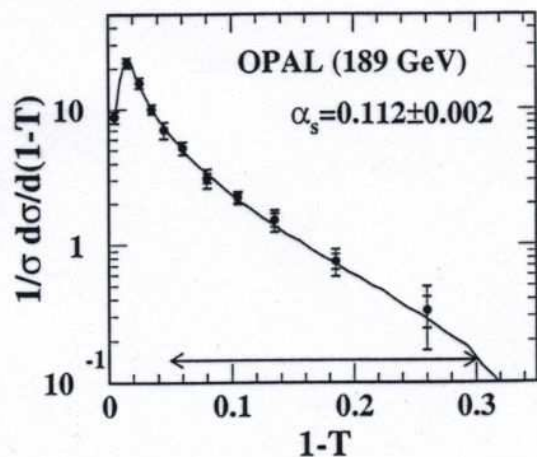
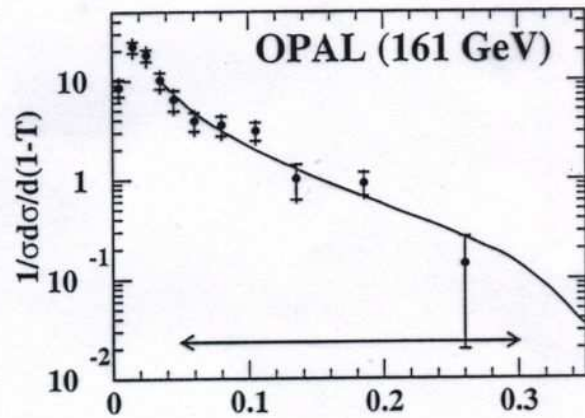
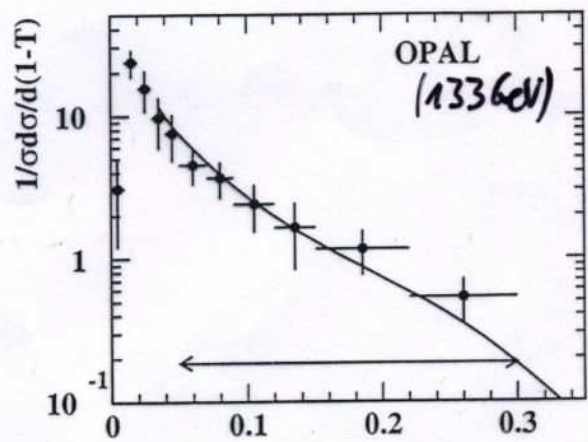
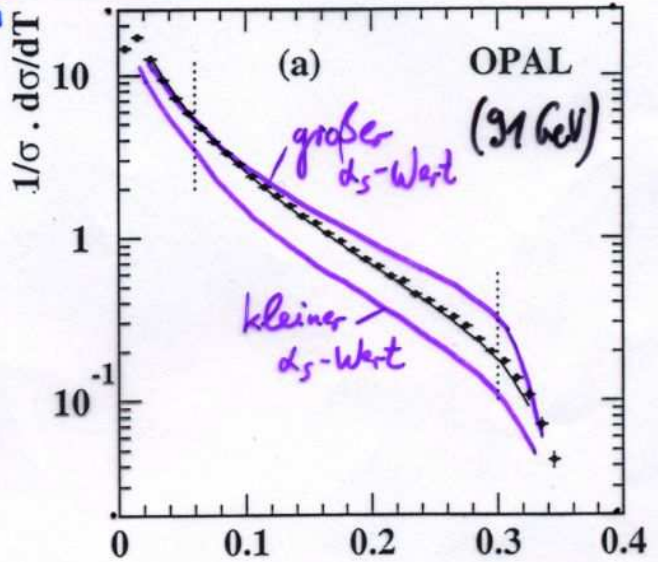
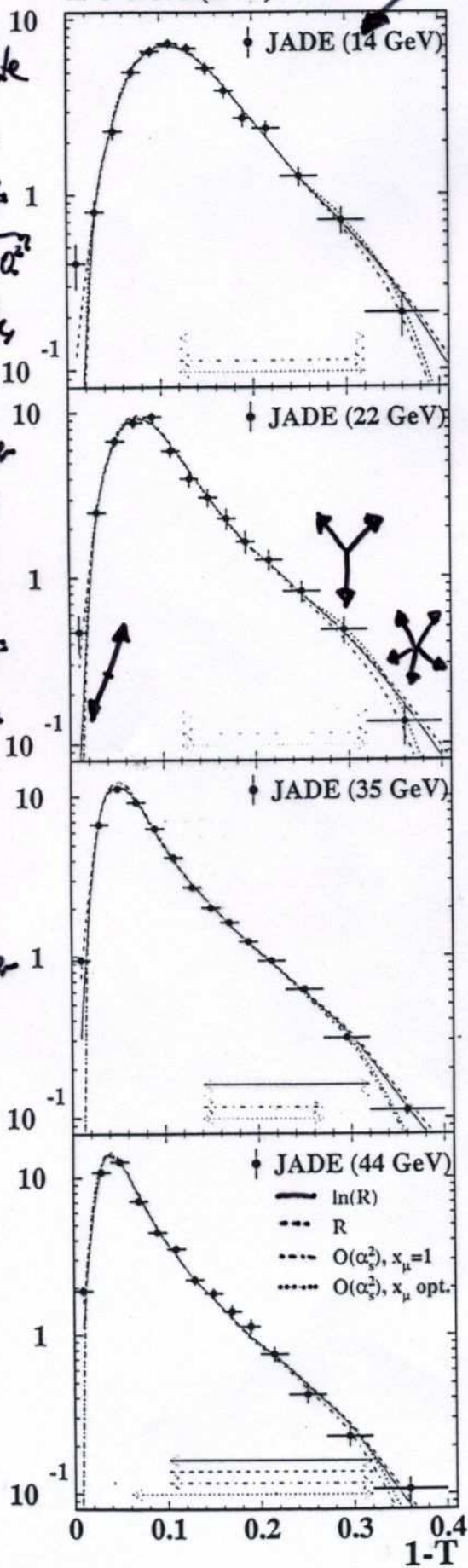
Konzept der  $d_s$ -Bestimmung:



# Verteilungen von Thrust

bei verschiedenen Energieskalen  $\sqrt{Q^2}$   
mit QCD-Rechnung überlagert

NB: Beachte  
Änderung  
der Verteilung  
mit  $\sqrt{Q^2}$   
erst stark,  
dann  
schwächer  
→ (u.a.)  
Energie-  
abhängig-  
keit von  
 $\alpha_s$  erst  
stark,  
dann  
schwächer





# Zusammenfassung vieler $\alpha_s$ -Bestimmungen

aus: ●  $e^+e^-$ -Vernichtung (Wirkungsquerschnitte, Verzweigungsverhältnisse, Topologie-Messgrößen)

● tiefinelastischer Lepton-Nukleon-Streuung

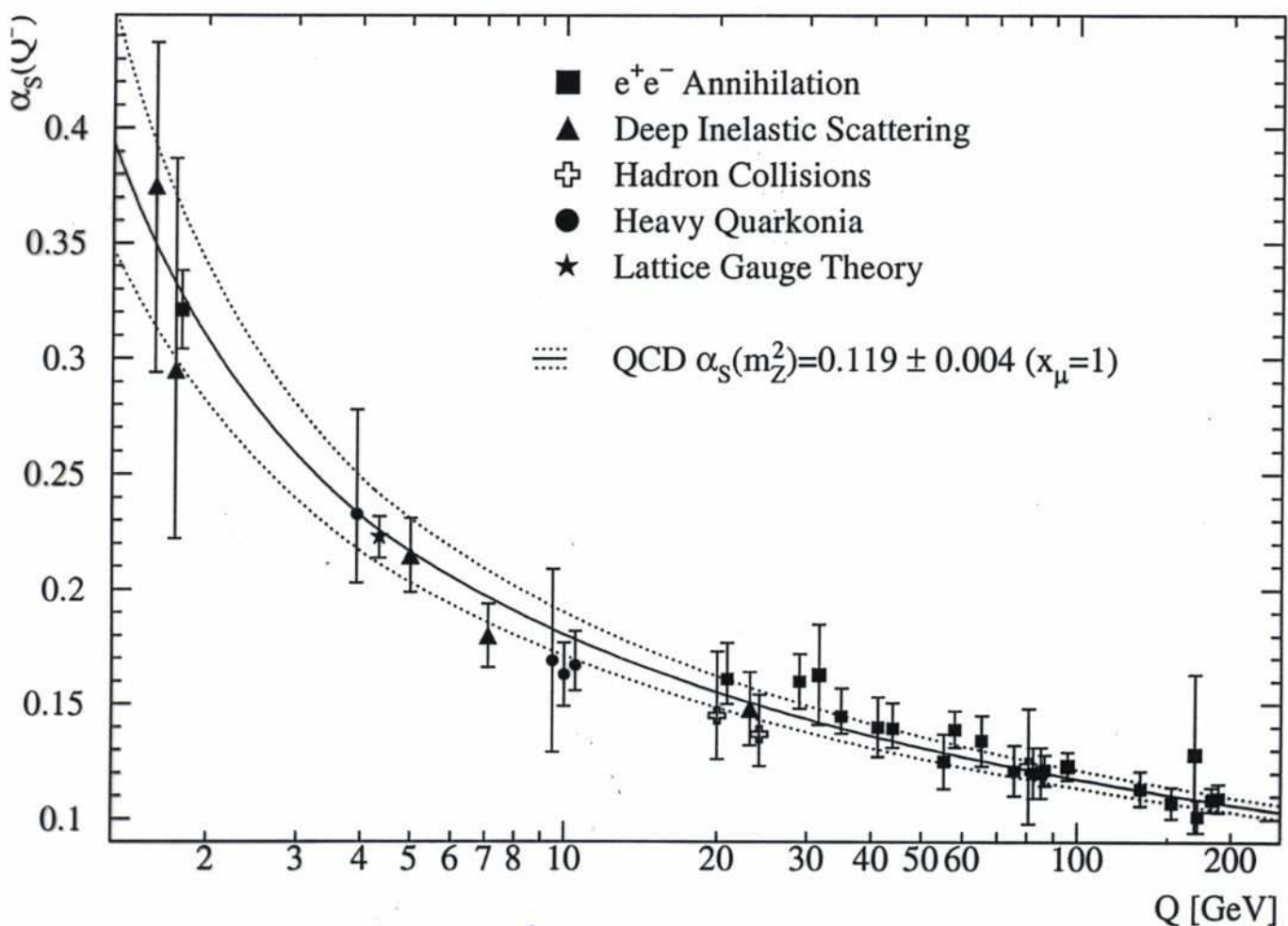
● Hadron-Hadron-Kollisionen

alle beschreibbar durch

$$\alpha_s(Q^2) \approx \alpha_s(M_Z^2) \cdot \left[ 1 - \alpha_s(M_Z^2) \cdot \beta_0^{QCD} \cdot \ln \frac{Q^2}{M_Z^2} \right] + \dots$$

mit

$$\alpha_s(M_Z^2) = 0.119 \pm 0.003$$



NB. Die renormierte Kopplungskonst.  $\alpha_s$  hängt wie von der Theorie erwartet von der Energieskala ab!

## Status der QCD

- Existenz von drei Farbladungen ✓
- Existenz des Gluons mit Spin 1 ✓
- Existenz der Gluon-Selbstwechselwirkung ✓
- Kopplungskonst.  $\alpha_s$  energieabhängig ✓
- asymptotische Freiheit ✓
- Stärke der Kopplung:  $\alpha_s(Q = m_Z) \approx 0.12$  ✓
- 

⇒ QCD gibt korrekte Beschreibung der starken Wechselwirkung!

Aber: Entstehung und Existenz von Hadronen aus Quarks (noch) nicht aus grundlegenden QCD-Prinzipien erklärbar.

# Struktur des Protons

- Im statische Quarkmodell:

$$\Psi(\text{Flavour}) = \frac{1}{\sqrt{2}} \left[ (\overline{u}d - d\overline{u}) + (\overline{u}u - u\overline{u}) + (\overline{u}d - u\overline{u}) \right]$$

$$\Psi(\text{Spin}) = \frac{1}{\sqrt{2}} \left[ (\uparrow\uparrow\downarrow - \downarrow\uparrow\uparrow) + (\uparrow\downarrow\uparrow - \downarrow\uparrow\uparrow) + (\uparrow\uparrow\downarrow - \uparrow\downarrow\uparrow) \right]$$

$$\Psi(\text{Colour}) = \frac{1}{\sqrt{2}} \left[ (rgb - rbg) + (gbr - grb) + (brg - bgr) \right]$$

⇒ Gesamtwellenfkt.

$$|p \uparrow\rangle = \Psi(\text{Flavour}) \cdot \Psi(\text{Spin}) \cdot \Psi(\text{Colour})$$

$$= \frac{1}{3\sqrt{2}} \left( 2 u_r^\uparrow u_g^\uparrow d_b^\downarrow - 2 u_r^\uparrow u_b^\uparrow d_g^\downarrow + \dots \right) \left[ \begin{array}{l} \text{insgesamt} \\ 3 \times 3 \times 6 = 54 \\ \text{Terme} \end{array} \right]$$

- Dynamische Struktur des Protons wesentlich komplizierter

Wird z.B. die Struktur des Protons mit Photonen untersucht, so löst das Photon in Abhängigkeit seiner Energie

(präziser: Virtualität  $Q^2 := -(E_\gamma - \vec{p}_\gamma)^2$ )

Strukturen im Proton auf, die größer als die Wellenlänge  $\lambda$  des (virtuellen) Photons sind:

$$\lambda = \frac{h \cdot c}{E_\gamma} \hat{=} \frac{h \cdot c}{\sqrt{Q^2}} \approx \frac{1.24 \text{ fm}}{\sqrt{Q^2 [\text{GeV}^2]}} \rightarrow \left\{ \begin{array}{l} Q^2 > 1 \text{ GeV}^2 \text{ löst} \\ \text{Protonstruktur auf} \end{array} \right.$$

(typ. Quelle für Photonen: Elektronenstrahl)

# Strukturuntersuchung: Formfaktor

## Formfaktoren und Ladungsdichteverteilung

- Streuung von Elektron an Proton: allgemein durch die Mott-Streuformel für punktförmige Teilchen beschrieben
- d.h. die Rutherford-Streuformel für relativistische Elektronen mit Spin  $\frac{1}{2}\hbar$ :

$$\left(\frac{d\sigma}{d\Omega}\right)_{\text{Mott}} \propto \left[ \frac{\alpha_{\text{em}} \hbar c}{2E \sin^2(\vartheta/2)} \right]^2$$

- Streuung von Elektron an ausgedehnter Ladungsverteilung (mit Ladungsdichte  $\rho(\vec{x})$ )

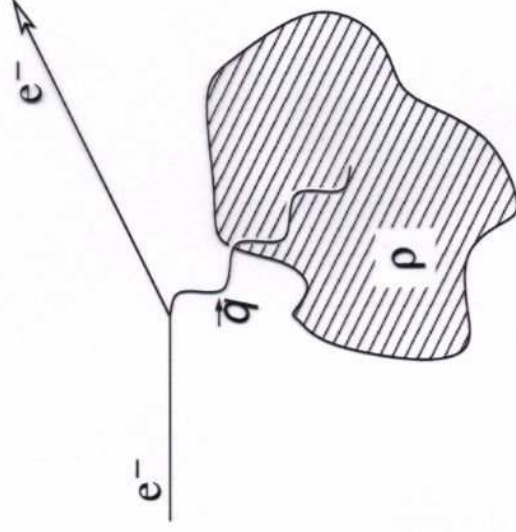
$$\left(\frac{d\sigma}{d\Omega}\right) = \left(\frac{d\sigma}{d\Omega}\right)_{\text{Mott}} \cdot |F(\vec{q})|^2$$

- Streuquerschnitt bei Impulsübertrag  $\vec{q}$ :

→ Formfaktor  $F(\vec{q}) =$  Fouriertransformierte der Ladungsdichte  $\rho$

$$F(\vec{q}) = \int \rho(\vec{x}) \exp(i\vec{q} \cdot \vec{x}/\hbar) d^3x$$

- ⇒
- |             |                                   |   |            |   |
|-------------|-----------------------------------|---|------------|---|
| Punktladung | $\rho(\vec{x}) = \delta(\vec{x})$ | → | Formfaktor | $F(\vec{q}) = \text{const.}$                |
| Proton      | $\rho(r) = \exp(-r/b)$            | → | Formfaktor | $F(\vec{q}) = (1 + b^2 q^2 / \hbar^2)^{-1}$ |



# Formfaktor $\rightarrow$ Strukturfunktion

- Formfaktor: beschreibt Struktur im Falle elastischer Streuung, d.h. Proton bleibt unbeschädigt nach Stoß
- unelastische Streuung ( $Q^2 = -q^2$ ,  $q$ : 4-Impulsübertrag im Stoß):

Formfaktor  $F(Q^2)$   $\rightarrow$  Strukturfkt.  $F(Q^2, x)$

$x$ : Bruchteil von Protonenergie & -impuls, den ein Quark  $q$  im Proton besitzt:

$$E_q = x \cdot E_{\text{Proton}}$$

$$p_{L,q} = x \cdot p_{L,\text{Proton}}$$

$$p_{T,q} = x \cdot p_{T,\text{Proton}} = 0$$

$\rightarrow$  Strukturfunktion  $F(Q^2, x)$

hat zwei Anteile:  $F_1(Q^2, x)$  und  $F_2(Q^2, x)$

für:

transversale bzw. longitudinale  
Polarisation des virtuellen Photons

(verknüpft durch Callan-Gross-Relation:  $2x F_1(x) = F_2(x)$ )



# Veranschaulichung der Strukturfunktion

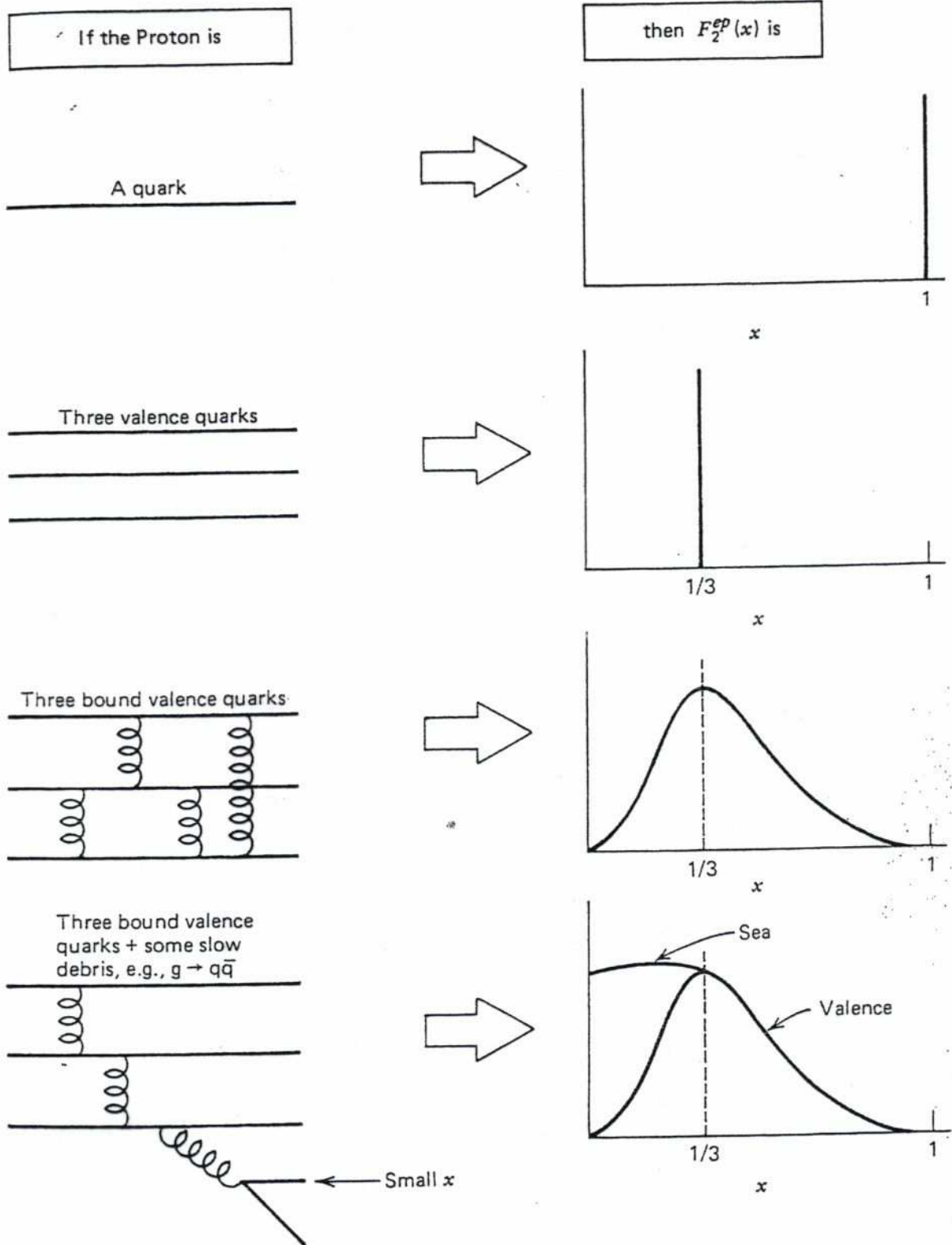


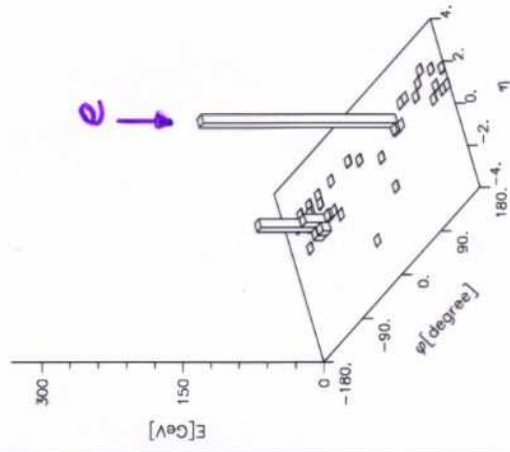
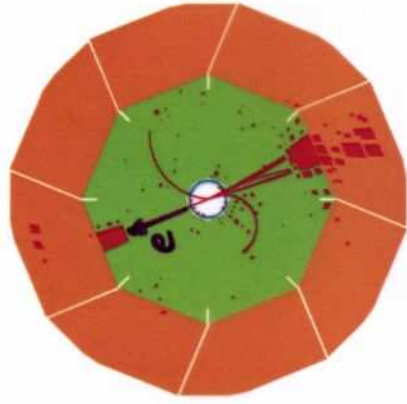
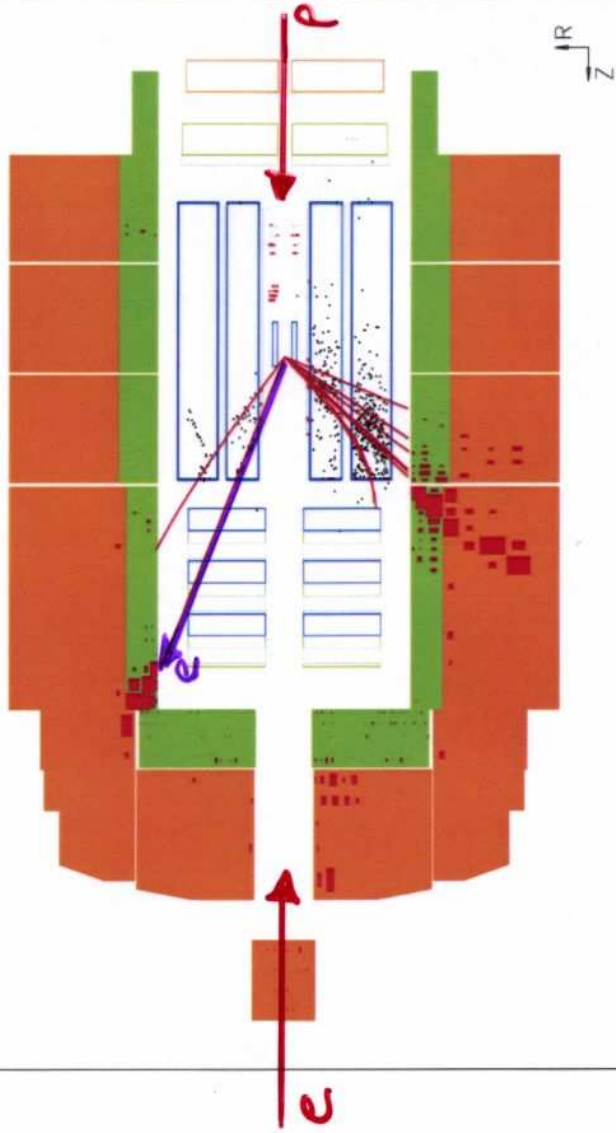
Fig. 9.7 The structure function pictured corresponding to different compositions assumed for the proton.

# ep-Prozess bei HERA

Run 224588 Event 9004 Class: 26

Date 19/10/1998

$$Q^2 = 22068 \text{ GeV}^2, y = 0.74$$

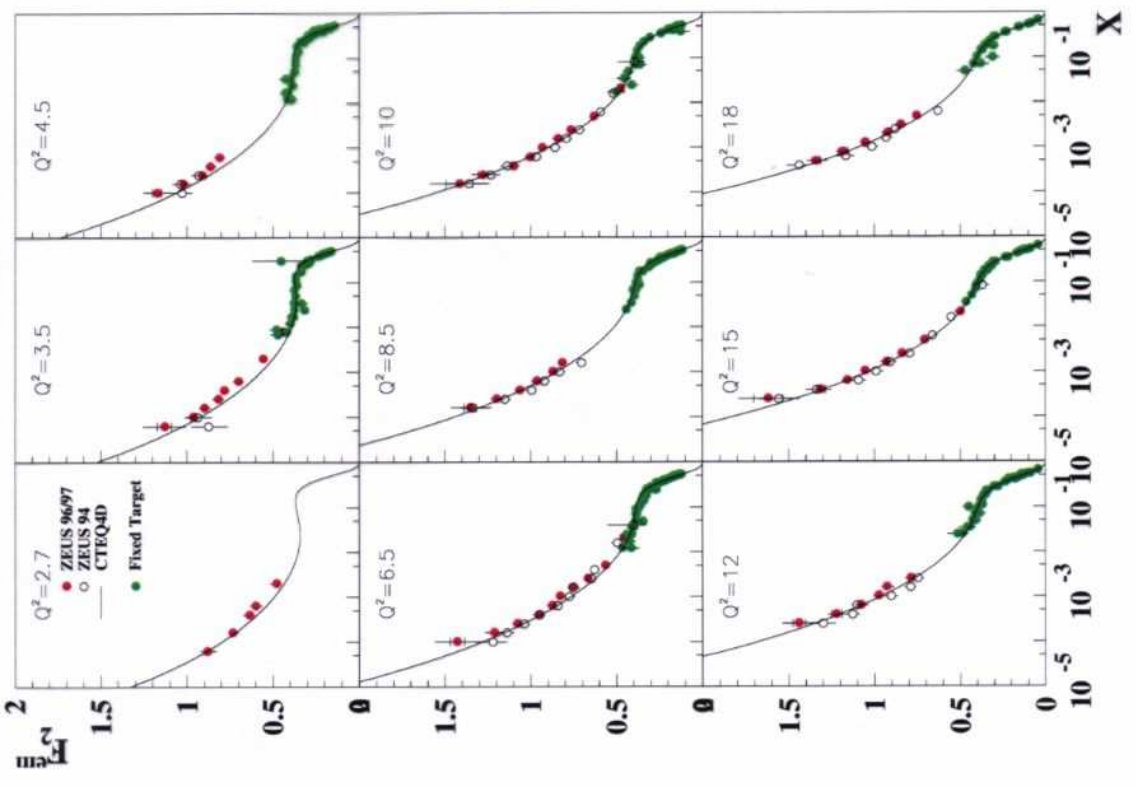




# Proton-Struktur

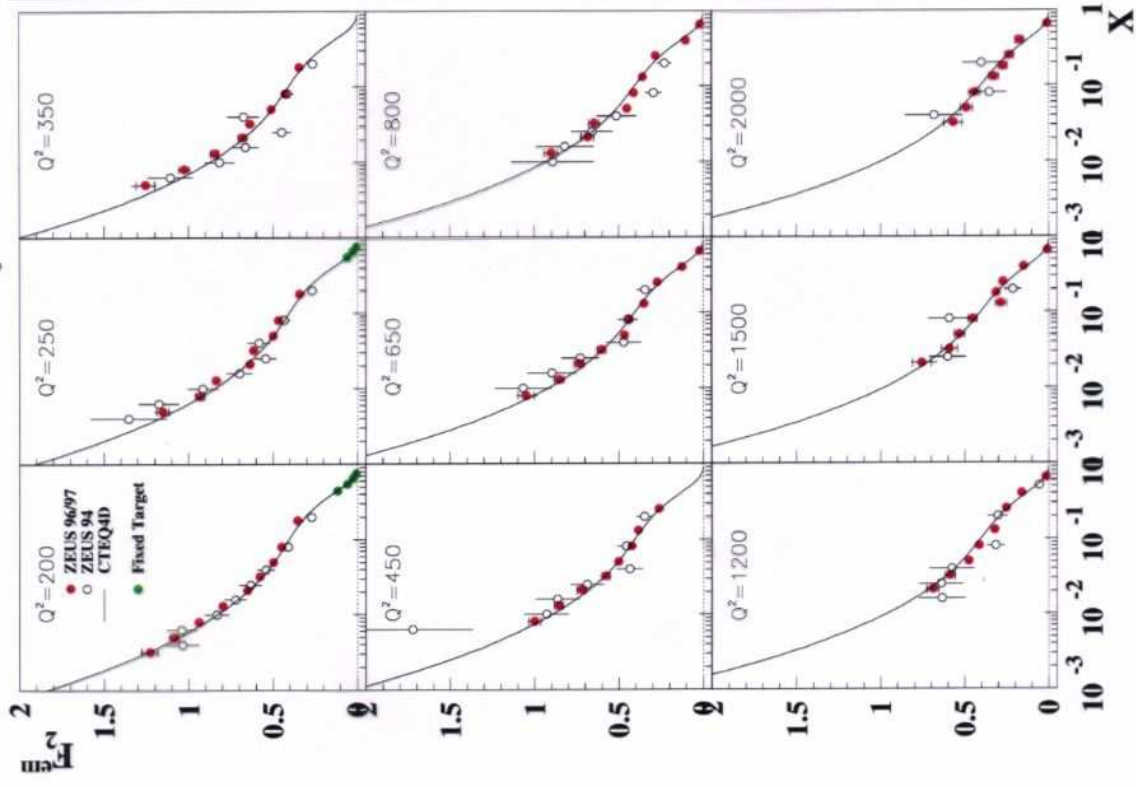
$F_2(x, Q^2)$  folgt aus Zählung der Häufigkeit von Endzuständen mit gegebenem  $x$  und  $Q^2$

ZEUS Preliminary 1996-97



Proton structure

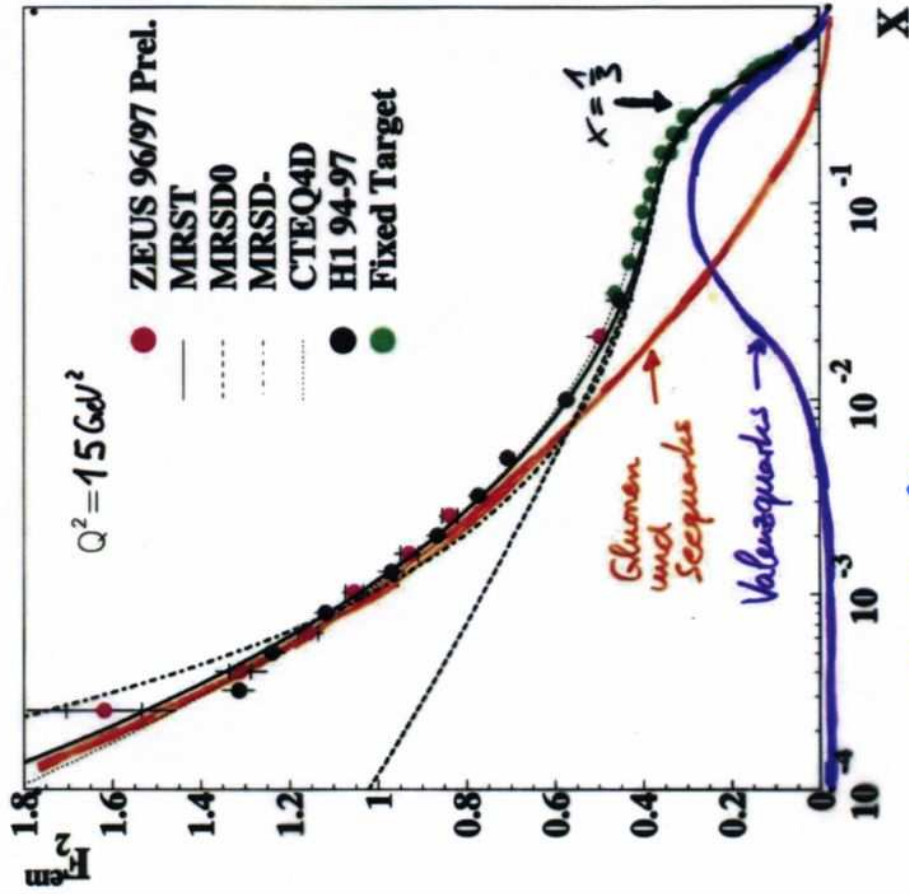
ZEUS Preliminary 1996-97



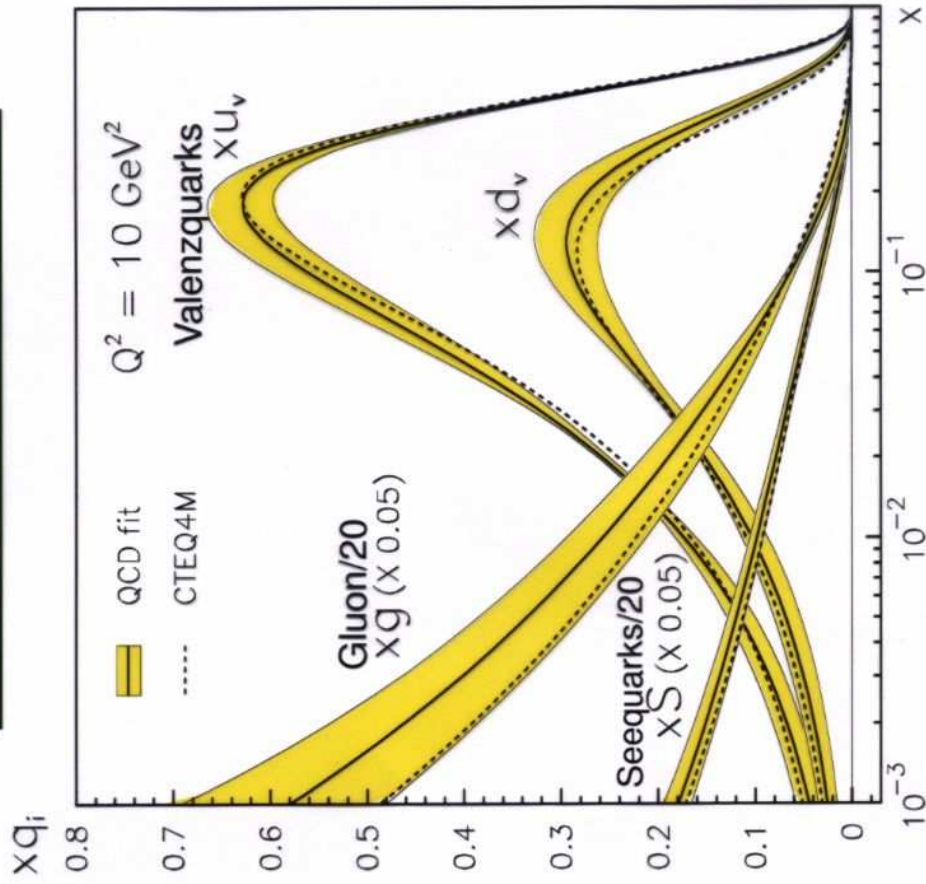
Bedeutung der Strukturfunktion

$$F_2(x) = \sum_q e_q^2 x \cdot (q(x) + \bar{q}(x))$$

$$F_2(x) = \sum_{i = \substack{u,d,s,\dots \\ \bar{u},\bar{d},\bar{s},\dots, g}} e_i^2 x \cdot f_i(x)$$



Strukturfkt.  $F_2$



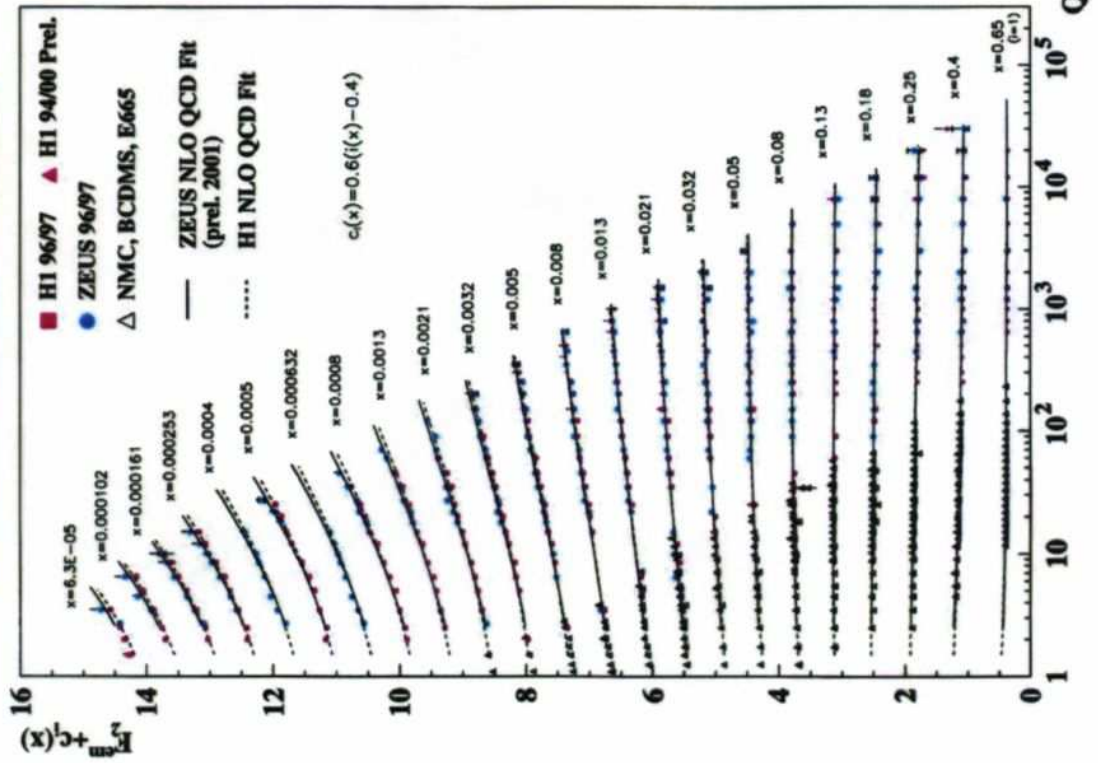
aus Zerlegung von  $F_2$  in  $f_i$  durch Lösung der DGLAP-Evolutionsgleichung nach  $f_i = q; g$

Partendichtfkt.  $f_i$

# Zur Bedeutung der Struktur-/Partondichtefkt.

## Proton-Strukturfunktion

$$F_2(x, Q^2) = x \sum e_q^2 q(x, Q^2)$$



$x = 5 \cdot 10^{-5}$

$x = .013$

$x = .25$

$x = .65$

## Impulsanteile der Partonen im Proton ( $t = Q^2$ )

$$\int_0^1 dx x \cdot f_i(x, Q^2)$$

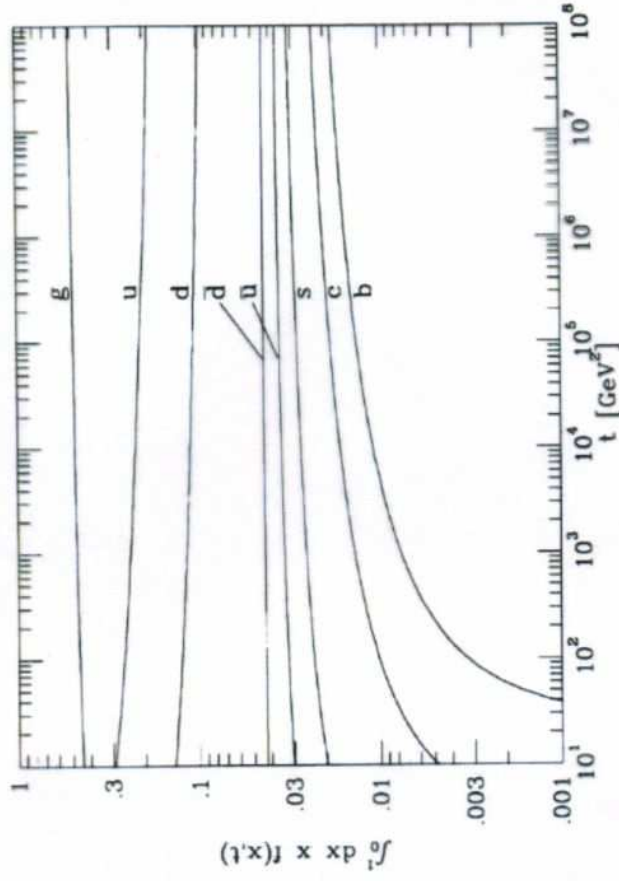


Fig. 4.14. Momentum fractions carried by the quarks and gluons as functions of the scale.

## Impulsbruchteile:

- Gluonen: 40-50% !
- Valenzquarks: nur je 10-30%
- Seequarks:  $\sim 5\%$

# Zur Bedeutung der Struktur-/Partondichtefkt.

## Faktorisierung: Partondichtefunktion $\otimes 2 \rightarrow 2$ -Prozess

In Proton-(Anti-)Proton-Collidern:

◇ inelastischer Stoß zwischen Proton-(Anti-)Proton

≙ harter Stoß zwischen zwei Partonen

(Parton=Quark, Antiquark oder Gluon)

◇ Partonen stammen aus Proton/(Anti-)Proton

→ Partondichtefunktion  $f_i(x)$  (Protonstrukturfkt.  $F_2(Q^2, x)$ )

Wahrscheinlichkeit: Parton mit  $x$  in (Anti-)Proton

● Faktorisierung: Partondichte/Protonstruktur  $\otimes$  harter Stoß  
separate Beschreibung

▷ Partonen mit Impulsbruchteil  $x_1, x_2$  aus Proton/(Anti-)Proton  
(Faktorisierungs-Energieskala  $\mu_F^2 \ll Q^2$ )

▷ harter Stoß zwischen diesen Partonen mittels QCD:  $2 \rightarrow 2$   
(Energieskala des Stoßes  $\mu^2 = Q^2$ )

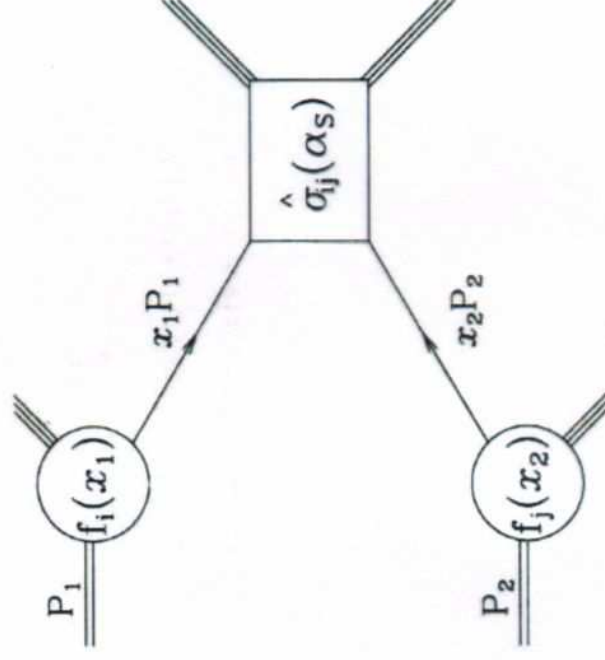


Fig. 7.1. The parton model description of a hard scattering process.

Protonstrukturfunktion  $F_2(x, Q^2) \rightarrow$  Partondichtefunktion  $f_i(x) \rightarrow$  Luminosität von Partonen für harten Stoß

# Zur Bedeutung der Struktur-/Partondichte $f_i$

Harte  $2 \rightarrow 2$ -Prozesse:

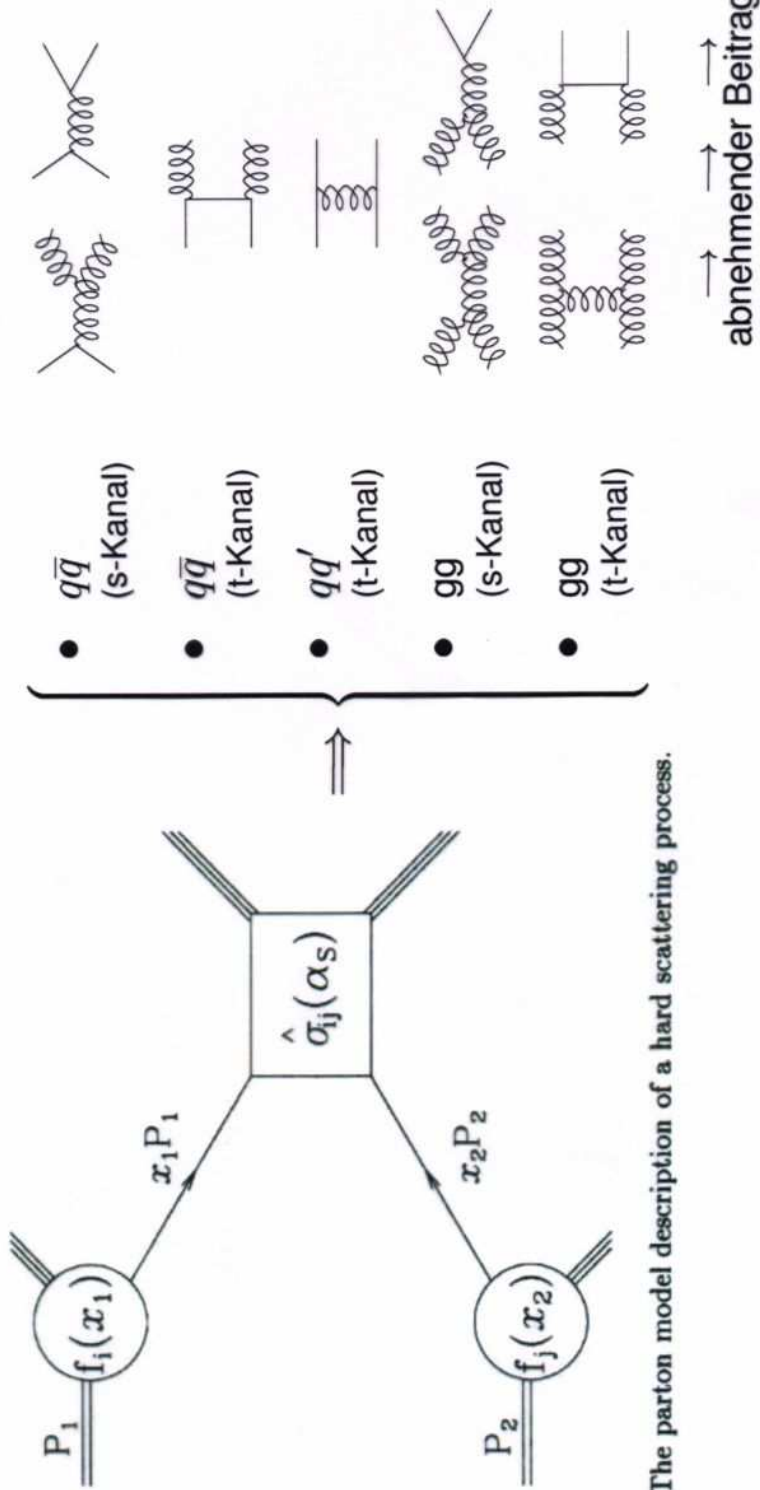


Fig. 7.1. The parton model description of a hard scattering process.

$$\sigma(s) = \sum_{\{ij\}} \int_{\tau_0}^1 \frac{d\tau}{\tau} \left[ \frac{dL_{ij}(\mu_F^2)}{d\tau} \right] \cdot \left[ \hat{\sigma} \cdot \hat{\sigma}_{ij}(\alpha_S(\mu^2)) \right]$$

$$\hat{S} = \tau s = x_1 x_2 s$$

Wirkungsquerschnitt:

mit effektiver Schwerpunktsenergie:

(z.B.:  $\sqrt{s} = 1.96$  TeV für Tevatron,

$\sqrt{s} = 14$  TeV für LHC)

$$\text{mit } \tau \frac{dL_{ij}}{d\tau} \sim \int_0^1 dx_1 dx_2 \left[ x_1 f_i(x_1, \mu_F^2) \cdot x_2 f_j(x_2, \mu_F^2) + (1 \leftrightarrow 2) \right] \cdot \delta(\tau - x_1 x_2)$$

# Struktur des Protons

... ist überaus reichhaltiger und komplizierter als vom statischen Quarkmodell erwartet:

- neben Valenzquarks noch
    - ▶ Gluonen
    - ▶ Seequarks
  - Valenzquarks : je 10-30%
  - Gluonen : 40-50%
  - Seequarks : ~5%
- } des Protonimpulses
- Proton ist mit sehr, sehr vielen niedereenergetischen Gluonen aufgefüllt
  - Partondichtefunktionen: Wahrscheinlichkeit, ein Quark/Gluon mit Impulsbruchteil  $x$  im Proton zu finden
  - Faktorisierung erlaubt Trennung zwischen Regime der Partondichtefunktionen ( $Q^2 < \mu_F^2$ ) und Regime der harten 2→2-Prozesse ( $Q^2 \gg \mu_F^2$ ).